

12. В. А. Храмцов.— В сб.: Горение в турбулентном потоке. М., Изд-во АН СССР, 1960.
 13. В. В. Голубев, В. Н. Янковский и др. Известия вузов Авиационная техника, 1973, 2.
 14. В. Н. Янковский, А. В. Талантов. Второй Всесоюзный симпозиум по горению и взрыву. Автореф. докл. Черноголовка, 1969.
 15. В. Е. Дорошенко, А. И. Никитский. Тр. МАИ, № 282, М., 1956.
 16. Ю. Я. Буринко, В. Р. Кузнецов. ФГВ, 1976, 12, 3, 390.
 17. В. Н. Вилюнов. ФГВ, 1975, 11, 1, 51.
 18. В. Л. Зимонт, В. А. Сабельников. Всесоюзная школа-конференция по теории горения. Тез. докл. М., ИПМ АН СССР, 1975.
 19. В. Р. Кузнецов. Изв. АН СССР. МЖГ, 1976, 5, 3.
-

К ОБЩЕМУ АНАЛИЗУ УСТОЙЧИВОСТИ МЕДЛЕННОГО ГОРЕНИЯ ЖИДКОСТИ

A. C. Плещанов

(Москва)

Устойчивость ламинарного фронта пламени в паре, испаряющемся с поверхности жидкости, с учетом влияния поля тяжести и поверхностного натяжения границы раздела фаз исследовалась в [1], где установлено стабилизирующее влияние перечисленных факторов. В [2] показано стабилизирующее влияние силы тяжести и вязкости жидкости. Исследование в [1, 2] проводилось в рамках гидродинамической устойчивости с использованием условия постоянства нормального потока массы на гидродинамическом разрыве [1], объединяющем фронты испарения и горения. В данной работе рассматривается общая задача гидродинамической и диффузионно-тепловой устойчивости (в смысле [3]) разделенных фронтов испарения и горения без учета взаимного влияния движения среды и распространения тепла. Предельным переходом получается характеристическое уравнение для гидродинамического разрыва, объединяющего фронты испарения и горения.

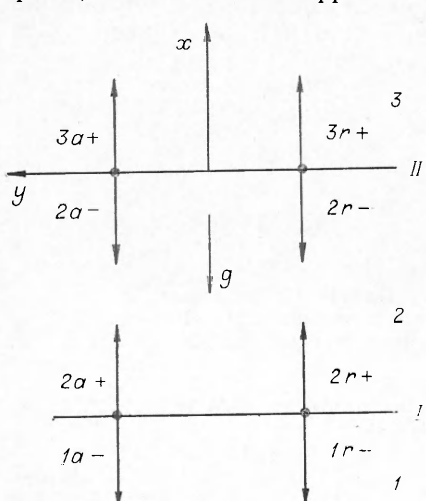


Рис. 1.

1. Гидродинамическая задача. Пусть среды $\alpha=1, 2, 3$ — жидкость, прогреваемый пар и продукты сгорания соответственно, а поверхности I, II — фронты испарения и горения (конфигурация и система координат показаны на рис. 1). Как обычно, все среды считаются несжимаемыми. По фронтам распространяются возмущения поверхностей сред $\zeta_{1,2}$, пропорциональные $\exp(iky + \Omega t)$, где k — волновое число ($\text{Im}(k)=0$), $\Omega=-i\omega$ (для устойчивости необходимо $\text{Re}(\Omega)<0$). Эти возмущения вызывают изменения нормальных потоков массы на фронтах $\delta j_{1,2}$ и появление вырожденно-акустических (a) и энтропийно-вихревых или вязких (r) возмущений во всех средах (направления возмущений показаны на рис. 1). Пусть зависимости

возмущений любой величины φ от x имеют вид

$$\begin{aligned}\varphi'_{1a-} &= \hat{\varphi}'_{1a-} e^{b(x-x_1)}, & \varphi'_{1r-} &= \hat{\varphi}'_{1r-} e^{l_1-(x-x_1)}, \\ \varphi'_{2a+} &= \hat{\varphi}'_{2a+} e^{-k(x-x_1)}, & \varphi'_{2r+} &= \hat{\varphi}'_{2r+} e^{l_2+(x-x_1)}, \\ \varphi'_{2a-} &= \hat{\varphi}'_{2a-} e^{k(x-x_{II})}, & \varphi'_{2r-} &= \hat{\varphi}'_{2r-} e^{i_2-(x-x_{II})}, \\ \varphi'_{3a+} &= \hat{\varphi}'_{3a+} e^{-k(x-x_{II})}, & \varphi'_{3r+} &= \hat{\varphi}'_{3r+} e^{l_3+(x-x_{II})},\end{aligned}\quad (1.1)$$

где l — волновые числа r возмущений; $x_1 = -d < 0$, $x_{II} = 0$ — координаты фронтов, штрихи относятся к возмущениям, символ \wedge означает амплитуды возмущений на фронтах. Физический смысл имеют возмущения с $\operatorname{Re}(l_\pm) \leq 0$. Из возмущенных уравнений непрерывности и Навье — Стокса

$$\begin{aligned}\frac{\partial u'_\alpha}{\partial x} + \frac{\partial v'_\alpha}{\partial y} &= 0; \\ \rho_\alpha \left(\frac{\partial}{\partial t} + u_\alpha \frac{\partial}{\partial x} - v_\alpha \Delta \right) \begin{cases} u'_\alpha \\ v'_\alpha \end{cases} + \frac{\partial}{\partial y} \begin{cases} u'_\alpha \\ v'_\alpha \end{cases} p'_\alpha &= 0,\end{aligned}\quad (1.2)$$

получим

$$\Delta p'_{\alpha a} = 0, \quad \left(\frac{\partial}{\partial t} + u_\alpha \frac{\partial}{\partial x} - v_\alpha \Delta \right) R'_{\alpha r} = 0, \quad (1.3)$$

где $R'_{\alpha r} = \partial v'_{\alpha r} / \partial x - \partial u'_{\alpha r} / \partial y$ — компонента ротора скорости; остальные обозначения обычны.

Из (1.3) ввиду (1.1) следуют дисперсионные уравнения

$$z_\alpha + w_{\alpha r} = \frac{\lambda_{\alpha r}}{2} (w_{\alpha r}^2 - 1), \quad (1.4)$$

где $z_\alpha = \Omega / (u_\alpha k)$; $w_{\alpha r} = l_\alpha / k$; $\lambda_{\alpha r} = 2v_\alpha k / u_\alpha$. Из (1.2) имеем связи

$$\begin{aligned}v'_{\alpha a \pm} &= -i u'_{\alpha a \pm}, & p'_{\alpha a \pm} &= -(\mp z_\alpha + 1) j u'_{\alpha a \pm}, \\ v'_{\alpha r} &= i w_{\alpha r} u'_{\alpha r}.\end{aligned}$$

На поверхностях разрывов выполняются граничные условия: непрерывность потока массы

$$\delta j_1 = \rho_1 \delta u_{1I} = \rho_2 \delta u_{2I}, \quad \delta j_{II} = \rho_2 \delta u_{2II} = \rho_3 \delta u_{3II}; \quad (1.5)$$

связь нормальных компонентов импульса

$$\begin{aligned}(p'_1 + 2j\delta u_1 - \tau'_{1xx})_I - (p'_2 + 2j\delta u_2 - \tau'_{2xx})_I &= -\sigma \partial^2 \zeta'_I / \partial y^2 + (\rho_1 - \rho_2) g \zeta'_I, \\ (p'_2 + 2j\delta u_2 - \tau'_{2xx})_{II} - (p'_3 + 2j\delta u_3 - \tau'_{3xx})_{II} &= (\rho_2 - \rho_3) g \zeta'_{II};\end{aligned}\quad (1.6)$$

непрерывность его тангенциальных компонентов

$$\begin{aligned}(j\delta v_1 - \tau'_{1xy})_I &= (j\delta v_2 - \tau'_{2xy})_I, \\ (j\delta v_2 - \tau'_{2xy})_{II} &= (j\delta v_3 - \tau'_{3xy})_{II};\end{aligned}\quad (1.7)$$

непрерывность касательных напряжений

$$\tau'_{1xyI} = \tau'_{2xyI}, \quad \tau'_{2xyII} = \tau'_{3xyII}. \quad (1.8)$$

Здесь σ — коэффициент поверхностного натяжения;

$$\tau'_{\alpha xx} = 2\eta_\alpha \partial u'_\alpha / \partial x, \quad \tau'_{\alpha xy} = \eta_\alpha (\partial v'_\alpha / \partial x + \partial u'_\alpha / \partial y) -$$

возмущенные компоненты тензора вязких напряжений. Вариации компонентов скорости содержат возмущения поверхностей разрыва

$$\begin{aligned} \delta u'_{\alpha I} &= u'_{\alpha I} - \partial \zeta'_I / \partial t, & \delta v'_{\alpha I} &= v'_{\alpha I} + u'_\alpha \partial \zeta'_I / \partial y; \\ \delta u'_{\alpha II} &= u'_{\alpha II} - \partial \zeta'_{II} / \partial t, & \delta v'_{\alpha II} &= v'_{\alpha II} + u'_\alpha \partial \zeta'_{II} / \partial y. \end{aligned}$$

В силу однородности задачи (невозмущенные распределения не зависят от x) всегда можно считать стационарное значение $v_\alpha = 0$ и не учитывать в (1.7) $\delta j_{I,II}$. В отличие от (1.5) — (1.7) условия (1.8), означающие вместе с (1.7) непрерывность тангенциальных компонентов скорости, не следуют из дивергентной записи уравнений гидродинамики. На самом деле, на малой, но не равной нулю ширине гидродинамического разрыва δ относительное изменение касательных компонентов скорости $\varepsilon \sim \delta/\sqrt{\tau}$, где τ — пролетное время. Для фронта испарения, где δ порядка нескольких длин свободного пробега, $\varepsilon \sim \sqrt{M} \ll 1$ (M — число Маха); для фронта горения оценки (см. ниже) показывают, что обычно тоже $\varepsilon \ll 1$. Условия (1.8) наряду с совпадением тангенциальных компонентов скорости использовались в [2, 4, 5]. Система условий (1.6) — (1.8) обладает тем свойством, что в вырожденной ситуации невязкой среды перед разрывом, когда отсутствует диффузия вихрей от разрыва вверх по потоку, условия (1.6) — (1.7) по-прежнему верны и вместе с (1.5) достаточны для описания течения. При этом условие (1.8) уже не корректно, но можно показать, что обсуждаемая вырожденная ситуация является предельной для общей задачи с условиями (1.5) — (1.8).

Поставленная задача содержит 12 возмущений (8 возмущений сред +2 возмущения фронтов +2 возмущения нормальных потоков массы на фронтах) и 10 граничных условий (1.5) — (1.8). Следовательно, характеристических уравнений будет 2, и их можно представить как связи между $\delta j_{I,II}$ и $\delta \zeta_{I,II} \equiv \zeta_{I,II}$. Недостающие связи получаются в рамках диффузионно-тепловой задачи.

Поскольку вязкость жидкости существенно превышает вязкость пара и продуктов сгорания, учитываем в дальнейшем в граничных условиях только вязкость жидкости. Однако для выполнения правильных предельных переходов характеристических уравнений при $kd \rightarrow \infty$ учет вязкости в дисперсионном уравнении (1.4) для среды 2 имеет принципиальное значение, так как под действием хотя бы и малой, но не нулевой вязкости обеспечивается необходимое расплывание энтропийно-вихревых возмущений на достаточном удалении от фронта, который их генерировал.

Искомые характеристические уравнения имеют вид

$$\left\{ \left[z_1 + 2 \frac{(\lambda_1 + 1) w_{1-} - 1}{w_{1-} + 1} \right] \delta F_{I-} + z_2 \delta F_{II+} + (\delta A_{12} - \delta B_{12}) \right\} + \\ + e^{-kd} [-z_2 \delta F_{II-} + z_3 \delta F_{II+} + (\delta A_{23} - \delta B_{23})] = 0, \quad (1.9)$$

$$\begin{aligned} (z_2 - 1) [(z_2 + 2) \delta F_{II-} + z_3 \delta F_{II+} + (\delta A_{23} - \delta B_{23})] + \\ + (z_2 + 1) e^{-kd} \left[\left(z_1 + 2\lambda_1 \frac{w_{1-}}{w_{1-} + 1} \right) \delta F_{I-} - z_2 \delta F_{I+} + (\delta A_{12} + \delta B_{12}) \right] - \\ - 2e^{k(z_2+d)} \left\{ \left[(z_1 + \lambda_1) - (z_2 - \lambda_1 - 1) \frac{w_{1-} - 1}{w_{1-} + 1} \right] \delta F_{I-} - \right. \\ \left. - \delta F_{I+} + (\delta A_{12} + z_2 \delta B_{12}) \right\} = 0. \end{aligned} \quad (1.10)$$

Здесь опущен индекс r и

$$\begin{aligned}\delta F_{I-,+} &= u_{1,2}\delta j_1/j + \Omega\delta\xi_I, \quad \delta F_{II-,+} = u_{2,3}\delta j_{II}/j + \Omega\delta\xi_{II}; \\ \delta A_{12} &= 2(u_2 - u_1)\delta j_1/j + 1/j \cdot [\sigma k^2 + (\rho_1 - \rho_2)g]\delta\xi_I; \\ \delta B_{12} &= (u_2 - u_1)k\delta\xi_I; \\ \delta A_{23} &= 2(u_3 - u_2)\delta j_{II}/j + 1/j \cdot (\rho_2 - \rho_3)g\delta\xi_{II}; \\ \delta B_{23} &= (u_3 - u_2)k\delta\xi_{II}.\end{aligned}$$

При $kd \rightarrow 0$ из (1.9), (1.10) получается характеристическое уравнение

$$\begin{aligned}\left[z_1 + 2 \frac{(\lambda_1 + 1)w_{1-} - 1}{w_{1-} + i} \right] \delta F_{I-} + z_3 \delta F_{II+} + \\ + (\delta A_{12} + \delta A_{23}) - (\delta B_{12} + \delta B_{23}) = 0\end{aligned}\quad (1.11)$$

и предельное условие

$$\delta F_{I+} = \delta F_{II-}. \quad (1.12)$$

При $kd \rightarrow \infty$ из (1.9), (1.10) получаются предельные уравнения [1, 2]. При $kd=0$ и $\delta j_{I,II}=0$ из (1.12) имеем $\delta\xi_I=\delta\xi_{II}$, и из (1.11) получается уравнение

$$\begin{aligned}(1 + \mu)z^2 + 2 \left[(\lambda + 1) - \frac{\lambda + 2}{w + 1} \right] z + (1 - 1/\mu) + \\ + \frac{1}{u_1^2 k} [k^2 \sigma / \rho_1 + (1 - \mu)g] = 0,\end{aligned}\quad (1.13)$$

где $\mu = \rho_3 / \rho_1 < 1$; z, w, λ опущен индекс 1.

Уравнение (1.13) при $\lambda=0$ совпадает с аналогичным уравнением [1], а при $\sigma=0$ — с [2]. Нетрудно видеть, что в обоих частных случаях [1] ($g>0, \sigma=\lambda=0; \sigma>0, g=\lambda=0$) имеются области стабилизации (длинноволновой и коротковолновой соответственно). Однако учет только вязкости жидкости ($\lambda>0, \sigma=g=0$) не стабилизирует разрыв.

Доказательство проводится следующим образом. Из дисперсионного уравнения (1.4), которое в данном случае имеет вид

$$\begin{aligned}z+w &= \lambda/2(w^2 - 1), \\ \text{при } & \\ z &= x+iy, \quad w = u+iv \\ \text{следует } & \\ x+u &= \lambda/2(u^2-v^2-1), \quad y+v = \lambda uv, \\ \text{так что } & \\ u &= (1+v)/\lambda > 0, \quad v = y/v,\end{aligned}$$

где $v>1$ (см. ниже) определяется из уравнения

$$v^2 = 1 + \lambda^2 + 2\lambda x + (\lambda y/v)^2.$$

При $y=0$ (1.13) в данном случае имеет вид

$$a_2x^2 + a_1x + a_0 = 0$$

с $a_2>0, a_0<0$, т. е. один из корней $x>0$, что означает неустойчивость. При $y\neq 0$ можно показать, что некоторая линейная комбинация дей-

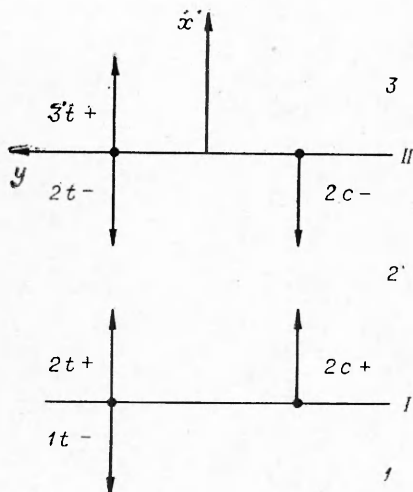


Рис. 2.

ствительной и мнимой частей (1.13) не удовлетворяется, т. е. решения с $y \neq 0$ отсутствуют (как и в [1]).

2. Диффузионно-тепловая задача.

Конфигурация и система координат те же, что и на рис. 1. По средам 1 и 3 распространяются температурные (t) возмущения, а по среде 2 — температурные в концентрационные (c) (направления возмущений показаны на рис. 2). Отсутствие концентрационных возмущений в средах 1 и 3 связано с отсутствием диффузии ведущего реагирующего компонента в жидкости и предположением, что в газовой фазе он находится в недостатке (как и в [3]). Пусть зависимости возмущений имеют вид

$$\begin{aligned} T'_{1-} &= \hat{T}'_{1-} e^{m_1(x-x_1)}, \\ T'_{2+} &= \hat{T}'_{2+} e^{m_2+(x-x_1)}, \quad c'_2+ = \hat{c}'_{2+} e^{n_2+(x-x_1)}, \\ T'_{2-} &= \hat{T}'_{2-} e^{m_2-(x-x_{II})}, \quad c'_2- = \hat{c}'_{2-} e^{n_2-(x-x_{II})}. \\ T'_{3+} &= \hat{T}'_{3+} e^{m_3+(x-x_{II})}; \end{aligned} \quad (2.1)$$

В отличие от однородных распределений невозмущенных гидродинамических величин здесь существуют стационарные распределения T и c :

$$\begin{aligned} \bar{T}_1 &= \bar{T}_{-\infty} + (\bar{T}_I - \bar{T}_{-\infty}) e^{\bar{m}_1(x+d)}, \\ \bar{T}_2 &= \bar{T}_{II} - (\bar{T}_{II} - \bar{T}_I) \frac{1 - e^{\bar{m}_2 x}}{1 - e^{-\bar{m}_2 d}}, \\ \bar{T}_3 &= \bar{T}_{II} = \bar{T}_{\infty}; \\ \bar{c}_1 &= \bar{c}_{-\infty} = \bar{c}_{I-0}, \\ \bar{c}_2 &= \bar{c}_{-\infty} (1 - e^{\bar{n}_2 x}), \\ \bar{c}_3 &= 0, \end{aligned} \quad (2.2)$$

где $\bar{m}_a = (u/\chi)_a$; $\bar{n}_2 = u_2/D_2$; $\chi = \kappa/(\rho c_p)$ — температуропроводность; D — коэффициент диффузии; черточки означают стационарные значения. Распределения (2.2) получаются из решения стационарных уравнений теплопроводности и диффузии при граничных условиях

$$\begin{aligned} \bar{T}_1(-\infty) &= \bar{T}_{-\infty}, \quad \bar{T}_1(-d) = \bar{T}_2(-d) = \bar{T}_I, \\ \bar{T}_2(0) &= \bar{T}_{II}; \\ \bar{c}_2(-d) &= \bar{c}_{I+0}, \quad \bar{c}_2(0) = 0; \end{aligned} \quad (2.3)$$

$$j\bar{c}_{I-0} = j\bar{c}_{I+0} - \rho_2 D_2 \frac{dc_2}{dx} \Big|_I;$$

$$\begin{aligned} (\kappa_2 \cdot d\bar{T}_2/dx - \kappa_1 \cdot d\bar{T}_1/dx)_I &= jr, \\ (\kappa_2 \cdot d\bar{T}_2/dx + q\rho_2 D_2 d\bar{c}_2/dx)_{II} &= 0, \end{aligned}$$

где r — удельная теплота испарения; q — удельный тепловой эффект

реакции горения. Величины в (2.2), (2.3) связаны законом сохранения энергии.

$$c_{p_1}(\bar{T}_I - \bar{T}_{-\infty}) + r + c_{p_2}(\bar{T}_{II} - \bar{T}_I) = \frac{qc_{I+0}}{1 - e^{-\frac{n_2}{n_2}d}} = qc_{-\infty}.$$

Из возмущенных уравнений теплопроводности и диффузии

$$\left(\frac{\partial}{\partial t} + u_\alpha \frac{\partial}{\partial x} - \chi_\alpha \Delta \right) T_\alpha = 0, \quad \left(\frac{\partial}{\partial t} + u_2 \frac{\partial}{\partial x} - D_2 \Delta \right) c_2 = 0 \quad (2.4)$$

ввиду (2.1) следуют дисперсионные уравнения

$$z_\alpha + w_{\alpha t} = \lambda_{\alpha t}/2(w_{\alpha t}^2 - 1), \quad z_2 + w_{2t} = \lambda_{2t}/2(w_{2t}^2 - 1), \quad (2.5)$$

где $\omega_{\alpha t} = m_\alpha/k$; $\omega_{2t} = n_2/k$; $\lambda_{\alpha t} = 2\chi_\alpha k/u_\alpha$; $\lambda_{2t} = 2D_2 k/u_2$.

На поверхностях разрывов выполняются граничные условия:
непрерывность температуры

$$\delta T_{1I} = \delta T_{2I}, \quad \delta T_{2II} = \delta T_{3II}; \quad (2.6)$$

непрерывность концентрации

$$\delta c_{II} = 0; \quad (2.7)$$

непрерывность потока массы

$$\delta j_I (\bar{c}_{I-0} - \bar{c}_{I+0}) = \left(j \delta c_2 - \rho_2 D_2 \frac{\partial \delta c_2}{\partial x} \right)_I; \quad (2.8)$$

непрерывность потоков энергии

$$\begin{aligned} \left(\kappa_2 \frac{\partial \delta T_2}{\partial x} - \kappa_1 \frac{\partial \delta T_1}{\partial x} \right)_I &= \delta j_I r, \\ \left(\kappa_2 \frac{\partial \delta T_2}{\partial x} + q \rho_2 D_2 \frac{\partial \delta c_2}{\partial x} \right)_{II} &= \kappa_3 \frac{\partial \delta T_3}{\partial x} \Big|_{II}. \end{aligned} \quad (2.9)$$

Вариации T и c на разрывах содержат возмущения формы вида

$$\delta \varphi_{\alpha I, II} = \varphi'_\alpha + \frac{d\bar{\varphi}_\alpha}{dx} \delta \zeta_{I, II}, \quad \frac{d\delta \varphi_{\alpha I, II}}{dx} = \frac{\partial \bar{\varphi}_\alpha}{\partial x} + \frac{d^2 \bar{\varphi}_\alpha}{dx^2} \delta \zeta_{I, II}.$$

Поставленная задача содержит 9 возмущений (6 возмущений сред +2 возмущения фронтов +1 возмущение нормального потока массы на фронте испарения) и 6 граничных условий (2.6)–(2.9). Привлекая уравнение кинетики испарения (см., например, [6])

$$j_I = \frac{1}{w_\infty} (p_\infty - p),$$

где $p_\infty \sim e^{-\mu r/R \bar{T}_I}$ — давление насыщенного пара; $w_\infty \sim V \bar{T}_I$ — тепловая скорость, получим ввиду несжимаемости среды (δp мало) основную часть изменения j_I

$$\delta j_I/j = \mu r/R \bar{T}_I \cdot \delta T_I/T_I = \varepsilon_I \cdot \delta T_I/T_I, \quad (2.10)$$

где μ — молекулярный вес; R — газовая постоянная. Совокупность условий (2.6)–(2.10) позволяет получить два характеристических уравнения, и их можно представить как связи между $\delta T_{I, II}$ и $\delta \zeta_{I, II}$.

Последним условием, замыкающим объединенную гидро-диффузионно-тепловую задачу, является уравнение кинетики горения $j_{II} \sim e^{-E/2R\bar{T}}$ [3], вариация которого дает

$$\delta j_{II}/j = E/2R\bar{T}_{II} \cdot \delta T_{II}/\bar{T}_{II} = \varepsilon_{II} \cdot \delta T_{II}/T_{II}, \quad (2.11)$$

где E — энергия активации.

Искомые характеристики уравнения диффузионно-тепловой задачи имеют вид

$$(m_{2+} - m_{2-}) \delta G_{II-} + e^{m_2+d} (m_{2-} \delta G_{I+} - \bar{m}_2 \delta G'_{I+}) - e^{m_2-d} (m_{2+} \delta G_{I+} - \bar{m}_2 \delta G'_{I+}) = 0, \quad (2.12)$$

$$\frac{1}{\delta_t} \{ m_{2+} m_{2-} [e^{(m_2+ - m_2-)d} - 1] \delta G_{II-} - (m_{2+} - m_{2-}) \bar{m}_2 e^{m_2+d} \delta G'_{I+} \} +$$

$$+ \frac{1}{\delta_c} \{ [n_{2+} (n_{2-} - \bar{n}_2) e^{(n_2+ - n_2-)d} - n_{2-} (n_{2+} - \bar{n}_2)] \delta H_{II-} -$$

$$- (n_{2+} - n_{2-}) \bar{n}_2 e^{n_2+ + d} \delta H'_{I+} \} + \left[\frac{m_3+}{m_3} c_{p_3} \delta T_{II} + q \bar{c}_{-\infty} (\bar{m}_2 - \bar{l}_2) \delta \zeta_{II} \right] = 0, \quad (2.13)$$

где $(\Delta T_I = T_I - \bar{T}_{-\infty})$

$$\delta G_{I+} = c_{p_2} \delta T_I - e^{-\bar{m}_2 d} \delta H'_{I+};$$

$$\delta G_{II-} = c_{p_2} \delta T_{II} - \delta H_{II-};$$

$$\delta H_{I+} = q \bar{c}_{-\infty} \bar{m}_2 \delta \zeta_I;$$

$$\delta H_{II-} = q \bar{c}_{-\infty} \bar{m}_2 \delta \zeta_{II};$$

$$\delta G'_{I+} = \left(c_{p_1} \bar{T}_I \frac{m_{1-}}{m_1} + r \varepsilon_I \right) \frac{\delta T_I}{\bar{T}_I} - [c_{p_1} \Delta \bar{T}_I (m_{1-} - \bar{m}_1) + q \bar{c}_{-\infty} e^{-\bar{m}_2 d} \bar{m}_2] \delta \zeta_I;$$

$$\delta H'_{I+} = - q \bar{c}_{-\infty} e^{-\bar{m}_2 d} \varepsilon_I \delta T_I / \bar{T}_I;$$

$$\delta_t = \bar{m}_2 [m_{2-} e^{(m_2+ - m_2-)d} - m_{2+}];$$

$$\delta_c = \bar{n}_2 [(n_{2-} - \bar{n}_2) e^{(n_2+ - n_2-)d} - (n_{2+} - \bar{n}_2)].$$

При $kd \rightarrow 0$ из (2.12), (2.13) получается характеристическое уравнение

$$[(c_{p_1} m_{1-} / \bar{m}_1 - c_{p_2}) + \varepsilon_I (r - q \bar{c}_{-\infty}) / \bar{T}_I] \delta T_I + (c_{p_2} - c_{p_3} m_{3+} / \bar{m}_3) \delta T_{II} = c_{p_1} \Delta \bar{T}_I (m_{1-} - \bar{m}_1) \delta \zeta_I,$$

и предельное условие

$$\delta G_{I+} = \delta G_{II-}.$$

При $kd \rightarrow \infty$ из (2.12) получается предельное уравнение тепловой, а из (2.13) — диффузионно-тепловой задачи [3], где возможна стабилизация.

3. Гидротепловая задача. Система характеристических уравнений (1.9), (1.10) относительно $\delta j_{I,II}$ и $\delta \zeta_{I,II}$ и (2.12), (2.13) относительно $\delta T_{I,II}$ и $\delta \zeta_{I,II}$ вместе с кинетическими соотношениями (2.10), (2.11) является замкнутой. Поскольку эта система слишком сложна для анализа, ограничимся длинноволновым приближением ($kd \ll 1$). В этой ситуации диффузионно-тепловые процессы, «зажатые» в узкой переходной зоне, несущественны, и влияние тепловой природы разрывов определяется кинетическими соотношениями (2.10), (2.11) и распространением

тепла в средах I и II. С помощью (2.10), (2.11) величины $\delta j_{1,II}$ выражаются через $\delta T_{1,II}$, а из предельных условий (1.12), (2.15) $\delta T_{1,II}$ выражаются через $\delta \Delta \xi = \delta \xi_{II} - \delta \xi_I$. Получающаяся гидротепловая задача определяется характеристическими уравнениями (1.11), (2.14), содержащими $\delta \Delta \xi$ и $\delta \xi_I$.

Существенно, что рассматриваемая предельная задача не может быть исследована в рамках однофронтового приближения из-за неопределенности вариации разрыва T на фронте. С другой стороны, поскольку взаимное влияние движения среды и распространения тепла имеет место только в промежуточной зоне, в предельной ситуации слившихся фронтов неучт этого обстоятельства, принятый в данной работе, является обоснованным.

Искомое уравнение при обычных условиях $\varepsilon_{I,II} \gg 1$ [3, 6] и $c_{p_1} = c_{p_2}$ имеет вид

$$(1 + \mu) z_1^2 + 2 \left[(\lambda_{1r} + 1) - \frac{\lambda_{1r} + 2}{w_{1r-} + 1} \right] z_1 + (1 - 1/\mu) + \\ + \frac{1}{u_1^2 k} [k^2 \sigma / \rho_1 + (1 - \mu) g] + 2\tau \left(z_1 + 1/\mu + \lambda_{1r} - \frac{\lambda_{1r} + 2}{w_{1r-} + 1} \right) w_{1r+} = 0, \quad (3.1)$$

где $\tau = (T_1 - T_{-\infty}) / (T_{II} - T_{-\infty}) < 1$.

По сравнению с (1.13) здесь появился дополнительный член, учитывающий распространение тепла в жидкости, но не зависящий от кинетических процессов ($\varepsilon_{I,II}$). Покажем, что в частной ситуации ($\lambda_{1r} = \sigma = g = 0$) разрыв не стабилизируется.

Отвлекаясь от индексов, имеем уравнение

$$(1 + \mu) z^2 + 2z + (1 - 1/\mu) + 2\tau(z + 1/\mu) w = 0. \quad (3.2)$$

Используя представления z и w , получим

$$u = (1 - v) / \lambda < 0, \quad v = -y/v,$$

где $v > 1$ и определяется как и выше. При $y = 0$ (3.2) имеет вид

$$a_2 x^2 + a_1 x + a_0 = 0 \quad (3.3)$$

с $a_2 > 0$, $a_0 < 0$, что означает неустойчивость. При $y \neq 0$ мнимая часть (3.2) дает выражение для x . Предположение $x \leq 0$ дает неравенство для τ , использование которого приводит к тому, что действительная часть (3.2) не удовлетворяется. Это означает, что при $y \neq 0$ не существует корней $x \leq 0$.

Таким образом, можно сделать вывод, что учет тепловой природы рассматриваемого гидродинамического разрыва уменьшает область его устойчивости. Этот результат подтверждается видом приближенного ($\tau \ll 1$) достаточного критерия устойчивости, аналогичного [1],

$$\frac{j^L}{4\sigma g p_1 \rho_3^2} \leq 1 - 4\tau \frac{\hat{\lambda}}{1 + \sqrt{1 + \hat{\lambda}^2}}, \quad (3.4)$$

который соответствует границе с $z_1 = 0$ и получается из (3.1).

В заключение сделаем несколько замечаний.

1. Условие корректности граничного соотношения (1.8) на фронте горения вида $\delta_{ch}/\sqrt{\tau_{ch}} \ll 1$ (где δ_{ch} — ширина зоны химической реакции, τ_{ch} — соответствующее пролетное время) можно получить из оценок типа [7]:

$$\delta_r \sim u\tau_r \sim v/u, \quad \delta_t \sim u\tau_t \sim \chi u, \\ \delta_{ch} \sim u\tau_{ch} \sim \chi/u \cdot RT_{ch}/E,$$

где $\delta_{r,t}$ — ширина вязкой и тепловой зон соответственно. Отсюда следует

$$\delta_{ch}/\delta_r \sim \tau_{ch}/\tau_r \sim 1/\text{Pr} \cdot RT_{ch}/E, \quad \delta_{ch}/\delta_t \sim \tau_{ch}/\tau_t \sim RT_{ch}/E, \\ \delta_{ch}/\sqrt{v\tau_{ch}} \sim \sqrt{\tau_{ch}/\tau_r} \sim \sqrt{1/\text{Pr} \cdot RT_{ch}/E},$$

где $\text{Pr} = v/\chi$ — число Прандтля. Таким образом, при обычно выполняющемся неравенстве $RT_{ch}/E \ll 1$ зону химической реакции можно рассматривать как поверхность, на которой непрерывны все величины (в том числе и касательное напряжение).

2. Использованное в работе неравенство $v > 1$ в соотношениях $u_{\pm} = (1 \pm v)/\lambda$ означает условие эволюционности [8], не допускающее лишних возмущений.

3. Вид вторых характеристических уравнений (1.10), (2.13), дающих при $kd \rightarrow \infty$ переходы 2—3, неоднозначен. Например, можно получить еще два вида уравнения (2.13). Отличие между всеми этими представлениями заключается в различии предельных переходов при $kd \rightarrow 0, \infty$. Причина неоднозначности сводится к различным способам определения $\hat{T}_{2\pm}'$ из (2.6), (2.9) при решении диффузионной части задачи из остальных граничных условий. Приведенные здесь системы уравнений (1.9), (1.10) и (2.12), (2.13) дают по 4 разных предельных перехода.

Поступила в редакцию
29/V 1978

ЛИТЕРАТУРА

1. Л. Д. Пандау. ЖЭТФ, 1944, **14**, 6.
2. В. Г. Левич. Докл. АН СССР, 1956, **109**, 5.
3. Г. И. Баренблatt, Я. Б. Зельдович, А. Г. Истратов. ПМТФ, 1962, 4.
4. В. И. Ягодкин. Изв. АН СССР. ОТН, 1955, 7.
5. Нестационарное распространение пламени. Под ред. Д. Г. Маркштейна. М., «Мир», 1968.
6. Б. Дельмон. Кинетика гетерогенных реакций. М., «Мир», 1972.
7. Я. Б. Зельдович. ЖФХ, 1948, **22**, 1.
8. И. М. Гельфанд. УМН, 1959, **14**, 2.

ЭКСПЕРИМЕНТАЛЬНОЕ ИССЛЕДОВАНИЕ ВОЗБУЖДЕНИЯ ВИБРАЦИОННОГО ГОРЕНИЯ ОДНОРОДНОЙ СМЕСИ В МОДЕЛЬНОЙ КАМЕРЕ

A. B. Прохоров, B. I. Фурлетов

(Москва)

Экспериментальное исследование механизма неустойчивого горения в камерах сгорания затруднено из-за сложных условий горения. В связи с этим в ряде работ выполнено исследование на моделях в упрощенных условиях турбулентного горения однородной смеси [1, 2]. При горении однородной смеси сохраняется основная причина неустой-